

Сравнение полученных данных с результатами для однородного материала показывает, что неоднородность существенно влияет на напряженно-деформированное состояние.

ЛИТЕРАТУРА

1. Кузнецов А. И. Вдавливание жестких штампов в полупространство при степенном упрочнении и при нелинейной ползучести материала // ПММ.— 1962.— Т. 26, № 2.
2. Задоян М. А. Динамическое деформирование несжимаемых сред // ПММ.— 1986.— Т. 50, № 5.
3. Современные численные методы решения обыкновенных дифференциальных уравнений/Под ред. Дж. Холла и Дж. Уатта.— М.: Мир, 1979.

г. Ереван

Поступила 9/XI 1988 г.,
в окончательном варианте — 4/V 1989 г.

УДК 539.4

В. А. Буряченко, А. М. Липанов

ЭФФЕКТИВНЫЕ МОДУЛИ УПРУГОСТИ КОМПОЗИТОВ ТРЕТЬЕГО ПОРЯДКА

Некоторые задачи структурной механики композитов не могут быть решены в рамках линейной теории (например, задачи устойчивости, распространения волн в предварительно деформированных неоднородных материалах). В настоящей работе предлагается метод расчета макроскопических модулей упругости второго и третьего порядков. Изучается микрон неоднородная среда в приближении геометрически линейной теории. Решение задачи оценки моментов полей деформаций в компонентах получено с помощью нелинейного варианта метода эффективного поля [1—4]. Метод основан на решении задачи бинарного взаимодействия включений, находящихся в эффективном поле, в предположении однородности деформаций внутри каждого включения. Принималось допущение об однородности вторых моментов полей деформаций в компонентах.

1. Общие соотношения. В макрообъеме w с характеристической функцией W рассмотрим смесь упругих компонентов, механические свойства которых описываются геометрически линейной теорией (вторым вариантом малых начальных деформаций по классификации [5]), когда тензор деформаций ε_{ij} связан с компонентами вектора смещений u_i соотношением

$$\varepsilon_{ij} = (u_{i,j} + u_{j,i})/2,$$

а уравнение состояния имеет вид

$$(1.1) \quad \sigma = L\varepsilon + \mathcal{L} \varepsilon \otimes \varepsilon.$$

В частности, для потенциала Мурнагана

$$(1.2) \quad \Phi = (1/2)\lambda A_1^2 + \mu A_2 (a/3) A_1^3 + b A_1 A_2 + (c/3) A_3$$

($A_1 = \varepsilon_{ii}$, $A_2 = \varepsilon_{ij}\varepsilon_{ij}$, $A_3 = \varepsilon_{ij}\varepsilon_{jk}\varepsilon_{ki}$ — алгебраические инварианты тензоров деформаций) из (1.1), (1.2) и соотношения $\sigma_{ij} = (1/2)(\partial/\partial\varepsilon_{ij} + \partial/\partial\varepsilon_{ji})\Phi$ получим

$$\begin{aligned} L_{ijkl} &= 3kN_{ijkl}^1 + 2\mu N_{ijkl}^2, \quad N_{ijkl}^1 = (1/3)\delta_{ij}\delta_{kl}, \\ N_{ijkl}^2 &= I_{ijkl} - N_{ijkl}^1, \quad I_{ijmn} = (\delta_{im}\delta_{jn} + \delta_{in}\delta_{jm})/2, \\ \mathcal{L}_{ijklmn} &= 3a\delta_{ij}N_{mnlk}^1 + b(\delta_{ij}I_{mnlk} + \delta_{mn}I_{ijkl} + \delta_{kl}I_{mnij}) + cJ_{ijmnlk}, \\ J_{ijmnlk} &= (I_{ipkl}I_{pjmn} + I_{ipmn}I_{pjkl})/2. \end{aligned}$$

© 1990 Буряченко В. А., Липанов А. М.

Матрица с характеристической функцией V_0 и модулями L_0, \mathcal{L}_0 содержит множество $X = (V_k, L^{(k)}, \mathcal{L}^{(k)})$ эллипсоидов v_k с характеристическими функциями V_k , полуосями a_k , ориентациями ω_k , центрами x_k , модулями $L^{(k)}, \mathcal{L}^{(k)}$.

Здесь и ниже принята безындексная форма записи тензорных уравнений. Под произведением тензоров понимается их свертка по внутренним индексам. Прямое тензорное произведение обозначено знаком \otimes . Применяются стандартные гипотезы микрогетерогенных сред [1, 6]: все рассматриваемые случайные поля предполагаются статистически однородными и эргодическими, тем самым статистическое усреднение по ансамблю может быть заменено усреднением по характерному объему

$$\langle (\cdot) \rangle = (\text{mes } w)^{-1} \int (\cdot) W(r) dr, \quad \langle (\cdot) \rangle_\alpha = (\text{mes } v_\alpha)^{-1} \int (\cdot) V_\alpha(r) dr \\ (\alpha = 0, 1, \dots).$$

Используется также обозначение $\langle (\cdot) | x_2; x_1 \rangle$ для условного среднего по ансамблю X при условии, что в точках x_1 и x_2 находятся включения и $x_1 \neq x_2$. Компоненты относятся к разным фазам X_α , если будут различными хотя бы один из параметров $a_\alpha, \omega_\alpha, L^{(\alpha)}, \mathcal{L}^{(\alpha)}$.

Уравнение равновесия для микрогетерогенной среды без учета массовых сил имеет вид

$$(1.3) \quad \nabla [(L_0 + L_1(x))\varepsilon(x) + (\mathcal{L}_0 + \mathcal{L}_1(x))\varepsilon(x) \otimes \varepsilon(x)] = 0,$$

где ∇ — операция симметризованного градиента;

$$L_1(x) = \sum_k V_k(x) (L^{(k)} - L_0), \quad \mathcal{L}_1 = \sum_k V_k(x) (\mathcal{L}^{(k)} - \mathcal{L}_0).$$

Уравнение (1.3) нелинейно; для получения обозримых конечных результатов используем линеаризацию (1.3), состоящую в предположении однородности $\varepsilon(x) \otimes \varepsilon(x)$ в пределах фазы X_α : $\varepsilon(x) \otimes \varepsilon(x) = \langle \varepsilon(x) \otimes \varepsilon(x) \rangle_\alpha$ при $x \in X_\alpha$, и обозначим $q(x) = (L_0 + L_1^{(\alpha)})^{-1} (\mathcal{L}_0 + \mathcal{L}_1^{(\alpha)}) \langle \varepsilon(x) \otimes \varepsilon(x) \rangle_\alpha$, $q(x) = q_0$ при $x \in X_0$, $q_1(x) = \sum_{k=1} (q(x) - q_0) V_k$. Правило вычисления кучочно постоянного тензора второго ранга q описано ниже. В принятых обозначениях выражение (1.3) запишем в виде

$$(1.4) \quad \nabla (L_0 + L_1(x)) [\varepsilon(x) + q(x)] = 0$$

с точностью до обозначений, совпадающим с аналогичным соотношением линейных теорий газонасыщенных пористых сред [2] и термоупругости [3] микрогетерогенных сред. Поэтому для решения (1.4) используем предложенный ранее [1—3] аппарат метода эффективного поля. Именно, с помощью фундаментального решения G уравнения равновесия однородной линейно-упругой среды с модулем L_0 соотношение (1.4) приведем к интегральному уравнению относительно модифицированной деформации $e = \varepsilon - q_0$

$$(1.5) \quad e(x) = \langle e \rangle + \int \nabla \nabla G(x-y) \{ L_1(y) e(y) - (L_0 + L_1(y)) q_1(y) - \\ - [\langle L_1 e \rangle - \langle (L_0 + L_1) q_1 \rangle] dy.$$

Выражая (1.5) в напряжениях, с учетом $\langle \sigma \rangle = \sigma^0$ получим

$$\sigma(x) = \sigma^0 + \int \Gamma(x-y) \{ M_1(y) \sigma(y) - q_1(y) - [\langle M_1 \sigma \rangle - \langle q_1 \rangle] \} dy.$$

Здесь $M_0 = L_0^{-1}$; $M_0 + M_1(x) \equiv M_0 + M_1^{(k)} \equiv (L_0 + L_1^{(k)})^{-1}$ при $x \in v_k$ — податливость k -го включения; $\Gamma(x-y) = -L_0 (I \delta(x-y) + \nabla \nabla G(x-y) L_0)$; δ — дельта-функция.

Эффективные модули второго и третьего порядка в соотношении

$$(1.6) \quad \langle \sigma \rangle = L_* \langle \varepsilon \rangle + \mathcal{L}_* \langle \varepsilon \rangle \otimes \langle \varepsilon \rangle$$

найдем, осредняя локальное уравнение (1.1):

$$(1.7) \quad L_* = L_0 + \langle L_1 A^* \rangle, \quad \mathcal{L}_* = \sum_{v=1} \langle L_1^{(v)} \mathcal{F}_1^{(v)} \rangle_v + \sum_{\alpha=0} \xi_\alpha \mathcal{L}^{(\alpha)} \mathcal{F}_2^{(\alpha)},$$

где $\xi_\alpha = \langle V_\alpha \rangle$; тензоры четвертого A^* , шестого \mathcal{F}_1 и восьмого \mathcal{F}_2 рангов определяют среднюю концентрацию деформаций в компоненте $X_\alpha \ni x$

$$(1.8) \quad \langle \varepsilon \rangle_\alpha = A_\alpha^* \langle \varepsilon \rangle + \mathcal{F}_1(x) \langle \varepsilon \rangle \otimes \langle \varepsilon \rangle, \quad \langle \varepsilon \otimes \varepsilon \rangle_\alpha = \mathcal{F}_2(x) \langle \varepsilon \rangle \otimes \langle \varepsilon \rangle.$$

2. Оценка средних деформаций в компонентах. Фиксируем произвольную реализацию поля X и рассмотрим эффективное поле $\bar{e}(x)$, $x \in v_k$, в котором находится включение

$$(2.1) \quad \bar{e}(x) = \langle e \rangle + \int U(x-y) \{ V(y; x) [L_1(y)e(y) + (L_0 + L_1(y))q_1(y)] - \\ - [\langle L_1 e \rangle + \langle (L_0 + L_1)q_1 \rangle] \} dy \\ (V(y; x) = V(y) - V_k(x), \quad V(y) = \sum_{k=1} V_k(y), \quad U = \nabla \nabla G).$$

Поле X , а значит, и \bar{e} случайны; для нахождения $\langle \bar{e} \rangle$ воспользуемся гипотезами метода эффективного поля, подробно описанными в [1, 2], согласно которым: 1. Поле \bar{e} однородно в окрестности каждого точечного включения. 2. Каждые n ($n > 1$) включений находятся в своем, вообще говоря, неоднородном поле $\bar{e}_{1, \dots, n}$.

По однородному полю \bar{e} однозначно определяется однородное поле деформаций внутри каждого включения [2]:

$$(2.2) \quad e(x) = A_k(\bar{e} - P_k(L_0 + L_1^{(k)})q_1), \quad A_k = (I + P_k L_1^{(k)})^{-1},$$

где $x \in v_k$ и постоянный тензор $P_k = - \int U(x-y)V_k(y)dy$ ($x \in v_k$) известен.

Опишем структуру композита функцией $\varphi(v_m | v_k)$ — условной плотностью распределения m -го включения в области v_m при фиксированном включении в области v_k . Вследствие того что включения не пересекаются, примем

$$(2.3) \quad \varphi(v_m | v_k) \equiv \psi(\omega_m) (1 - V'_{km}) f_{km}(|r|) (\text{mes } W)^{-1}.$$

Из условия нормировки $\langle \psi(\omega_m) \rangle = 1$, при отсутствии ближнего порядка $f_{km}(|r|) = n_v$, $v = 1, 2, \dots$, если $v_m \in X_v$; n_v — счетная концентрация включений компонента X_v — связана с объемной концентрацией $\xi_v = (4/3) \pi a_v^3 n_v$; V'_{km} — характеристическая функция шара v'_{km} с центром x_k и радиусом $a_{km} = \min_i a_m^i + \max_i a_k^i$.

Осредняя (2.1) на множестве $X(\cdot | x_k)$, с помощью (2.3) в предположении правомерности гипотезы 1 эффективного поля получим

$$(2.4) \quad \langle \bar{e}_k \rangle = \langle e \rangle + \int U(x-y) \{ \langle [L_1 A(y) \bar{e}(y) + \\ + A(y)(L_0 + L_1)q_1] V(y; x) | y; x \rangle - [\langle L_1 A \bar{e} \rangle + \langle A(L_0 + L_1)q_1 \rangle] \} dy.$$

Для вычисления условных моментов в (2.4) воспользуемся гипотезой 2 с $n = 2$ и первыми приближениями решения задачи бинарного взаимодействия включений, находящихся в однородной матрице [3]. Тогда аналогично [3] запишем

$$(2.5) \quad \bar{e} = D(\langle e \rangle + \langle F \rangle), \\ D = (I - P_0 \langle R \rangle - \int \langle J_{12} (1 - V'_{12}) f_{12} \rangle_{12} dx_2)^{-1}, \\ F = P_0 R q_1 + \int \langle T_{12} (1 - V'_{12}) f_{12} q_1 \rangle_{12} dx_2,$$

где $R_k = L_1^{(k)} A_k \bar{v}_k$; $\bar{v}_k = \text{mes } v_k$; $P_0 = P(v'_{km})$; $J_{12} = U R_2 U R_1$; $T_{12} = U R_2 U A_1 (L_0 + L_1^{(k)})$;

$\langle \cdot \rangle_{km}$ обозначают операцию осреднения по ω_k , ω_m , a_{km} и положениям x_m на сфере радиуса $|r| = |x_k - x_m|$ с центром в x_m .

Из (2.5) найдем среднюю деформацию в компонентах включений X_ν ($\nu = 1, 2, 3, \dots$) и матрице X_0

$$(2.6) \quad \langle \varepsilon_\nu \rangle = A_\nu D \{ \langle \varepsilon \rangle - P_\nu (L_0 + L_1) D^{-1} q_1 + q_0 + \langle F \rangle \},$$

$$(1 - \xi) \langle \varepsilon \rangle_0 = \langle \varepsilon \rangle - \sum_{\nu=1}^3 \xi_\nu \langle \varepsilon \rangle_\nu, \quad A_\nu^* = A_\nu D,$$

$$A_0^* = (I - \langle ADV \rangle) (1 - \xi)^{-1}, \quad \xi = \langle V \rangle.$$

Выражения A^* в (2.6) позволяют определить эффективный модуль второго порядка L_* с помощью соотношения (1.7). При равновероятной ориентации включений тензоры $\langle R \rangle$, $\langle J_{12} \rangle_{12}$, $\langle T_{12} \rangle_{12}$, D , L_* изотропны и

$$\langle J_{12} \rangle_{12} = (3J_{12}^1, 2J_{12}^2), \quad \langle T_{12} \rangle_{12} = (3T_{12}^1, 2T_{12}^2), \quad 3J_{12}^1 = 2\beta^2 (3\bar{k}_1) (2\bar{\mu}_2) |r|^{-6},$$

$$2J_{12}^2 = (2/5) [\beta^2 (3\bar{k}_2) (2\bar{\mu}_1) + (2\bar{\mu}_1) (2\bar{\mu}_2) (7\gamma^2 - \eta^2/4 + 2\beta\eta)] |r|^{-6},$$

$$\beta = (3k_0 + 4\mu_0)^{-1}, \quad \eta = (3\mu_0)^{-1}, \quad \gamma = (3k_0 + 4\mu_0) [3\mu_0 (3k_0 + 4\mu_0)]^{-1},$$

где для изотропного тензора B_{ijkl} приняты обозначения

$$B = (3B^1, 2B^2) = 3B^1 N^1 + 2B^2 N^2,$$

$$\langle L_1^{(i)} A_i \rangle = \prod_{j=1}^3 a_i^j = (3\bar{k}_i, 2\bar{\mu}_i), \quad \langle L_1 A \rangle = \int L_1 A \psi(\omega) d\omega.$$

Для получения $3T_{12}^1$, $2T_{12}^2$ нужно в $2J_{12}^2$ заменить $(3\bar{k}_1, 2\bar{\mu}_1)$ на $(3t_1, 2t_2) = \langle (L_0 + L_1^{(1)}) A_1 \rangle = \prod_{j=1}^3 a_i^j$.

3. Вычисление \mathcal{F}_1 , \mathcal{F}_2 , \mathcal{L}_* . До сих пор мы полагали, что q_0, q_1 известны, но по предположению эти тензоры зависят от вторых моментов полей деформаций в компонентах. В этом случае задача (1.3) нелинейна, и для оценки постоянных тензоров q_α ($\alpha = 0, 1, \dots$) используем метод последовательных приближений [4] $q_\alpha^{(n+1)} = \langle \varepsilon^{(n)} \otimes \varepsilon^{(n)} \rangle_\alpha (L_0 + L_1^{(\alpha)}(x))^{-1} (\mathcal{L}_0 + \mathcal{L}_1^{(\alpha)}(x))$, $q_\alpha^{(0)} = 0$ значения $\langle \varepsilon^{(n)} \otimes \varepsilon^{(n)} \rangle$ оценим по методу [1] при известном $q_\alpha^{(n)}$. Для сокращения выкладок в (1.8) воспользуемся первым итерационным приближением $\langle \varepsilon^{(0)} \otimes \varepsilon^{(0)} \rangle_\alpha$ и $\langle \varepsilon^{(1)} \rangle_1$. Вычисление второго момента $\langle \varepsilon^{(0)} \otimes \varepsilon^{(0)} \rangle_\alpha$ можно провести с помощью построения корреляционной функции полей деформаций по методу [1]; если при этом в решении задачи бинарного взаимодействия включений [1] методом последовательных приближений учитывались, как в (2.5), члены ряда, убывающие на бесконечности не быстрее J_{12} , то можно показать, что

$$(3.1) \quad \langle \varepsilon^{(0)} \otimes \varepsilon^{(0)} \rangle_\alpha = \langle \varepsilon^{(0)} \rangle_\alpha \otimes \langle \varepsilon^{(0)} \rangle_\alpha \quad (\alpha = 0, 1, \dots).$$

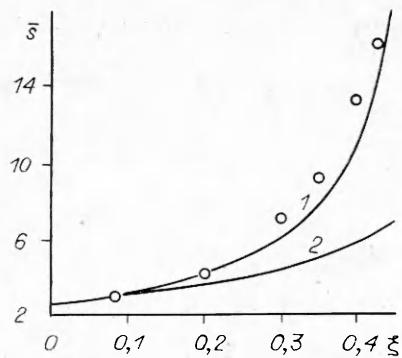
Сравнивая (1.8) с (2.6), (3.1), получим

$$\mathcal{F}_2^{(\alpha)} = A_\alpha^* \otimes A_\alpha^*, \quad \mathcal{F}_1^{(\nu)} = A_\nu D \{ L_0^{-1} \mathcal{L}_0 \mathcal{F}_2^{(0)} - P_\nu D^{-1} (\mathcal{L}^{(\nu)} \mathcal{F}_2^{(\nu)} - L^{(\nu)} L_0 \mathcal{L}_0 \mathcal{F}_2^{(0)}) + P_0 \langle [(\mathcal{L}_0 + \mathcal{L}_1) A \mathcal{F}_2 - (L_0 + L_1) A L_0^{-1} \mathcal{L}_0 \mathcal{F}_2^{(0)}] V \rangle + \int \langle UR_2 U [\mathcal{L}^{(1)} A_1 \mathcal{F}_2 - L A_1 L_0^{-1} \mathcal{L}_0 \mathcal{F}_2^{(0)}] (1 - V'_{12}) f_{12} \rangle_{12} dx_2 \} - L_0^{-1} \mathcal{L}_0 \mathcal{F}_2^{(0)} \quad (\alpha = 0, 1, \dots; \nu = 1, 2, \dots).$$

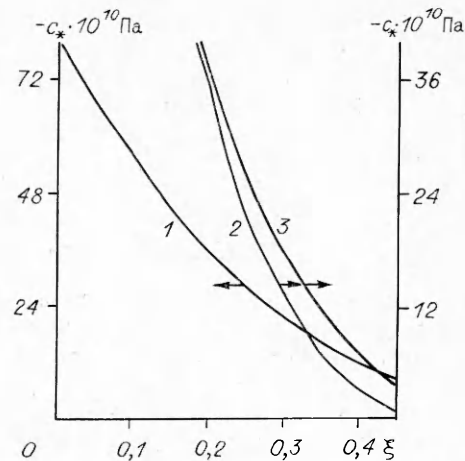
Аналогично определим $\mathcal{F}_1^{(\alpha)}$. Подстановка найденных значений $\mathcal{F}_1^{(\alpha)}$, $\mathcal{F}_2^{(\alpha)}$ из (3.1) в (1.7) позволяет найти эффективный модуль упругости третьего порядка

$$(3.2) \quad \mathcal{L}_* = \sum_{\alpha=0}^3 \xi_\alpha \mathcal{L}^{(\alpha)} \otimes A_\alpha^* \otimes A_\alpha^* \otimes A_\alpha^*.$$

Это выражение обобщает аналогичное соотношение [6] на случай произвольного числа компонентов. Для двухкомпонентных композитов (3.2) с точностью до обозначений совпадает с приведенными в [6], отличие со-



Р и с. 1



Р и с. 2

стоит в конкретных уравнениях для A_α^* , т. е. в решении линейно-упругой задачи.

В общем случае тензоры A_α^* , а значит, и L_* , \mathcal{L}_* анизотропны; при равновероятной ориентации включений A_α^* , L_* , \mathcal{L}_* изотропны: $A_\alpha^* = (3r_\alpha, 2s_\alpha)$,

$$\begin{aligned} \mathcal{L}_{*ijmnl} &= a_* \delta_{ij} \delta_{mn} \delta_{kl} + b_* (\delta_{ij} I_{mnlk} + \delta_{mn} I_{ijkl} + \delta_{kl} I_{ijml}) + c_* J_{ijmnl}, \\ a_* &= \sum_{\alpha=0}^3 \xi_\alpha [9a_\alpha r_\alpha^3 + 3b_\alpha p_\alpha r_\alpha (3r_\alpha + 2s_\alpha) + c_\alpha p_\alpha^2 (p_\alpha + 2s_\alpha)], \\ b_* &= \sum_{\alpha=0}^3 \xi_\alpha (2s_\alpha)^2 (3b_\alpha r_\alpha + c_\alpha p_\alpha), \quad c_* = \sum_{\alpha=0}^3 \xi_\alpha c_\alpha (2s_\alpha)^3 \end{aligned}$$

($3p_\alpha = 3r_\alpha - 2s_\alpha$; $a_\alpha, b_\alpha, c_\alpha$ — компоненты $\mathcal{L}^{(\alpha)}$).

Пример. Поскольку отличие в оценках \mathcal{L}_* по предложенному методу и результатам [6] связано с решением линейно-упругой задачи вычисления A_α^* , приведем количественное сравнение A_α^* , рассчитанных по методам условных моментов [6] и эффективного поля [1]. Для жестких шаровых включений одного размера в несжимаемой матрице получим из соотношений (2.2), (2.6), (1.8)

$$2\bar{s} = 2s_1 (\mu_*/\mu_0 - 1) = 5(2 - 31\xi/8)^{-1} \quad \text{и} \quad 2\bar{s} = (5/2 - \xi)(1 - \xi)^{-2}$$

по методу условных моментов (кривые 1 и 2 рис. 1 соответственно; точками изображены экспериментальные данные [7] по изменению эффективной ньютоновской вязкости суспензий при увеличении ξ , перестроенные в координатах $\bar{s} \sim \xi$ с помощью формулы (1.7)). Сравнение аналогичных оценок для шаровых и плоских сфероидальных пор проведено в [2]. На рис. 2 приведена кривая изменения $c_*(\xi)$, рассчитанных по (2.6), (3.2) для стали 09Г2С с шаровыми порами одного размера и параметрами (в Па) $\lambda_0 = 9,44 \cdot 10^{10}$, $\mu_0 = 7,9 \cdot 10^{10}$, $a_0 = -82,5 \cdot 10^{10}$, $b_0 = -30,9 \cdot 10^{10}$, $c_0 = -79,9 \cdot 10^{10}$. Значение $c_*(\xi)$ при $\xi = 0,4$ на кривой 1 рис. 2 на 20 % больше оценки по методу условных моментов [6]. Заметим, что для пористых сред отношение c_* , определенных по (2.6), (3.2) и [6], равно отношению кубов s_0 . Поэтому отличие в оценках c_* по (2.6), (3.2) и [6] будет увеличиваться при росте k_0 и приближении формы включений к плоским сфероидам [2]. Действительно, для шаровых пор и $k_0 = \infty$ на рис. 2 представлены значения $c_*/[c_0(1 - \xi)] \sim \xi$ (кривые 2 и 3), рассчитанные по формулам [6] и (2.6), (3.2) соответственно.

ЛИТЕРАТУРА

1. Буряченко В. А. Корреляционная функция полей напряжений в матричных композитах // Изв. АН СССР. МТТ. — 1987. — № 3.
2. Буряченко В. А., Липанов А. М. Концентрация напряжений на эллипсоидальных включениях и эффективные термоупругие свойства композитных материалов // Прикл. механика. — 1986. — № 11.

3. Буряченко В. А., Липанов А. М. Уравнения механики газонасыщенных пористых сред // ПМТФ.— 1986.— № 4.
4. Буряченко В. А., Липанов А. М. Эффективные характеристики упругих физически нелинейных композитов // Прикл. механика.— 1990.— № 1.
5. Гузь А. Н. Основы трехмерной теории устойчивости деформируемых тел.— Киев: Вища школа, 1986.
6. Маслов Б. П. Макроскопические модули упругости третьего порядка // Прикл. механика.— 1979.— № 7.
7. Krieger I. W. Rheology of monodisperse latices // Adv. in Colloid and Interface Sci.— 1972.— V. 3.— N 2.

г. Москва

Поступила 22/VI 1988 г.,
в окончательном варианте — 11/V 1989 г.

УДК 534.202.2

А. В. Еремин, И. М. Набоко

РАСПРЕДЕЛЕНИЕ ПЛОТНОСТИ В ИМПУЛЬСНЫХ СТРУЯХ ГАЗА, ИСТЕКАЮЩИХ В РАЗРЕЖЕННОЕ ПРОСТРАНСТВО

Излагаются результаты измерения плотности в импульсных струях большой нерасчетности. Обсуждаются приемы получения информации о локальных значениях плотности на основе измерений интегрального ослабления зондирующего электронного луча в специфических условиях нестационарного струйного течения. При оценке последствий импульсных направленных выбросов, рассматривают, как правило, весьма упрощенные схемы течения. Предполагается, что поле течения можно оценить либо по соотношениям и результатам расчетов для стационарных струй, либо на основе модельных представлений течения от пространственно-симметричного мгновенно включенного стационарного источника. Оба подхода приближенные и по мере повышения требований к достоверности информации о характере распределения параметров потока в пространстве от времени нуждаются в уточнении.

В [1—3] даны результаты экспериментального изучения импульсных газовых струй, формирующихся при исходной нерасчетности $(P_0/P_\infty) \cdot 10^8$, давлении в фоновом пространстве $P_\infty \sim 10^{-5}$ мм рт. ст. На основе измерения интегрального поглощения электронного пучка построены поля плотности струй азота и аргона в процессе развития течения. Получены данные о движении фронта струи и особенностях заполнения фонового пространства газом формирующейся струи.

Измерение интегрального ослабления электронного пучка обеспечивает возможность получения информации на пределе чувствительности диагностической аппаратуры в условиях, когда использование других способов локальной диагностики разреженных потоков становится проблематичным. В то же время определение локального значения плотности на основе данных по интегральному поглощению, сводящегося при априори известной геометрии течения (ввиду его симметрии) к решению уравнения Абеля [4—6], — задача трудоемкая.

Анализ характера первичных экспериментальных данных и результатов выполненных ранее расчетов показал возможность аналитического описания распределения плотности в рассматриваемых импульсных струях на основе данных эксперимента.

На рис. 1, а приведены типичные осциллограммы поглощения электронного пучка (x -координата вдоль оси струи от среза сопла, y -координата в перпендикулярном оси направлении, Φ — начало поглощения, s — выход на квазистационарный уровень). В опытах регистрировалась лишь переменная составляющая тока пучка, что позволило значительно повысить точность измерений. На рис. 1, б показана схема зондирования.

Так как в экспериментах для определения плотности проводится похордовое зондирование осесимметричного течения, связь между значением плотности в точке с координатой (y, ξ) в декартовой системе координат (или с координатой r — в полярной, см. рис. 1, б) и значением поглощения вдоль хорды y_i выражается как

$$(1) \quad F(y) = 2 \int_0^{\sqrt{R^2 - y^2}} \rho(\sqrt{y^2 + \xi^2}) d\xi.$$